

東海大学 学主員 前原弘光  
 東海大学 正員 星田義治  
 東海大学 正員 市川 毅

1. まえがき

先報において、著者等は井戸の非定常二次元放射流れに井戸材の抵抗を考慮し解析法を示している。しかし、不圧地下水の場合、井戸材の抵抗による井戸横寸がない場合でも水理的必然として鉛直流による井戸内外水位の不連続が発生する。従って、不連続水位差のすべてが井戸材の抵抗による横寸ではないことになる。以上のことから今回、井戸壁における不連続水位における鉛直流の影響、及び近似的に井戸材の抵抗による井戸横寸と見なした場合の抵抗係数について考察を行う。K。

2. 有限要素法による定常三次元放射流解析

Fig-1 において、均質等方(全要素について Z, r 方向の透水係数一定)な帯水層内の定常三次元放射流れの支配方程式は次のように表わされる。

$$\frac{\partial}{\partial r} \left( r \frac{\partial h}{\partial r} \right) + \frac{\partial}{\partial z} \left( r \frac{\partial h}{\partial z} \right) = 0 \quad (2-1)$$

但し、 $h = p/\omega + z$

ここで、p: 水圧、 $\omega$ : 水の単位体積重量。

境界条件は次のようになる。

二点境界値問題として扱うと境界  $A_1, A_3$  は静水圧となる。

$$h = h_w \quad \text{on } A_1, \quad h = H_c \quad \text{on } A_3$$

境界  $A_2$  は浸出面を表わす。

$$h = z \quad (p = 0)$$

境界  $A_4$  は不透水層であり、境界 FS は自由水面を示す。

$$\frac{\partial h}{\partial z} = 0 \quad \text{on } A_4, \quad \frac{\partial h}{\partial n} = 0 \quad \text{and } p = 0 \quad \text{on } FS$$

浸出面の位置は揚水弁近傍の要素分割に大きく左右される。従って、要素分割について十分な妥当性を検討し、Fig-2 のようなモデルで解析し、K。

3. 井戸材の抵抗を考慮した井戸壁における運動方程式

近似的に井戸壁における不連続水位を抵抗によるものとし、乱流型の運動方程式を用いると以下のように導出される。Fig-3 において、井戸材の抵抗を  $K = \sqrt{2g/\Sigma f}$  とおき、 $h_s - h_w$  区間からの浸出流量を  $Q_1$ 、 $h_w$  区間からの浸出流量を  $Q_2$  とすると井戸壁における乱流型の運動方程式は次のようになる。

$$Q_0 = Q_1 + Q_2 = 2\pi r_0 K (h_s - h_w)^{\frac{1}{2}} \frac{2h_s + h_w}{3} \quad (3-1)$$

ここで、 $g$ : 重力加速度、 $\Sigma f$ : 損失係数。式(3-1)を無次元化すると式(3-2)となる。

$$Z_0 = \alpha (g_s - g_w)^{\frac{1}{2}} \frac{2g_s + g_w}{3} \quad (3-2)$$

ここで、 $Z_0 = Q_0 / 2\pi r_0 H_c^2$ ,  $\alpha = r_0 K / R H_c^{\frac{1}{2}}$ ,  $g_s = h_s / H_c$ ,  $g_w = h_w / H_c$ ,  $R$ : 透水係数。

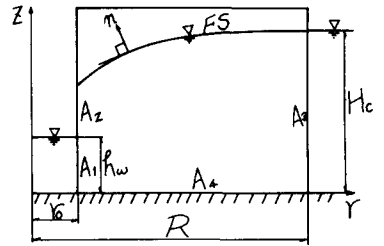


Fig-1

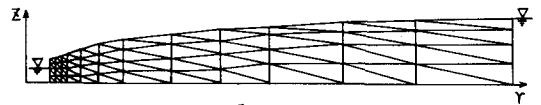


Fig-2

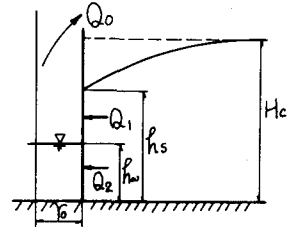


Fig-3

#### 4. 模型実験概要

実験装置は円型の $\frac{1}{2}$ の簡型水層を用いた。Fig-4は模式断面図を示す。サナ壁外の水位は板厚1cmのストレーナに接して中5mmの観測弁を設け、他のサナ同様に井底から逆サイフォンでメーターに導き測定する。揚水弁のストレーナとして、開孔率の異なる $\gamma$ -スのサナ材を用いる。開孔率は帯水層内のサナ壁側面積に占める開孔面積の割合を示し、この値に mesh (120 $\mu$ ) は考慮しない。充填試料は有効粒径0.43mm, 均等係数1.49の寒川産砂, 及び豊浦標準砂を用いる。涵養半径は2.0mと1.0mを採用する。 $\gamma$ -スにつき揚水弁の水位低下量と変化させ定常実験を行なった。

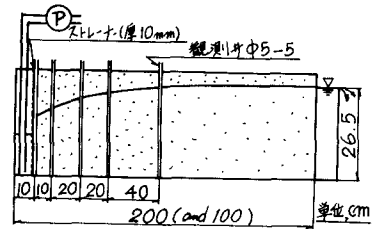


Fig-4

#### 5. 実験結果及び考察

一般に動水勾配が大きくなると Dupuit-Forchheimer の準一樣流の仮定は成り立たない。鉛直流を考慮したサナ理論式に野崎の一次解がある。野崎の式, F.E.M.による三次元放射流数値解, 及び準一樣流の仮定による Thiem の式に実験データを適用すると, Fig-5 のような関係になる。鉛直流によって主にお浸出面の不連続水位差とサナ内水位の関係に実験値をプロットすると Fig-6 のようになる。実験値はストレーナの開孔率100%の $\gamma$ -スであり, 最大水位低下とその Reynolds number は寒川砂に対して1.5, 標準砂に対して0.04である。Re計算に用いる流速は揚水量とサナ壁外水位の流出面積(2R $\cdot$ V $\cdot$ h)で割ったものである。野崎の解とF.E.M.の数値解に差違が認められるが, 野崎の解は一次解であり十分議論できない。F.E.M.の数値解においては比水位( $r_w/h_c$ )0.5付近より鉛直流による不連続水位差が急激に大きくなるが実験値もほぼ同様の傾向が認められる。実験値と理論値が一致しない理由に測定精度(サナ材に接して観測弁を設けている), サナ材の抵抗等が考えられる。また実験値の涵養半径による変化が小さいことから異方性( $k_z \ll k_r$ の比を變える)の解析も必要かと思われる。

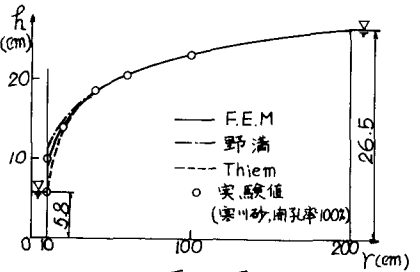


Fig-5

近似的に不連続水位差が抵抗によって主因として導かれた式(3-2)の関係を示すと Fig-7 のようになる。この図によると開孔率が大きい場合, 流量(水位低下量)が大きくなると比例関係がとづれている。この位置を比水位で示すと0.4位である。この値は Fig-6 において鉛直流の効果が大きくなる位置とほぼ一致していることから鉛直流の影響によるものと思われる。開孔率が小さい場合, つまり, 不連続水位差に占めるサナ材の抵抗の影響が大きい場合, ほぼ比例関係が保たれている。図のように2種の媒体による傾向が一致していることから, 鉛直流の影響が卓越した0.4の範囲(開孔率が大きい場合は比水位0.4位まで)の現場においては近似的に抵抗係数 $\alpha$ (不連続水位差)を推定可能と思われる。

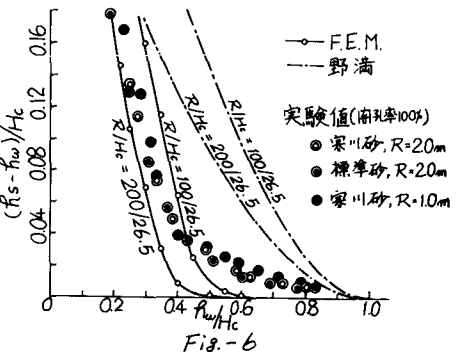


Fig-6

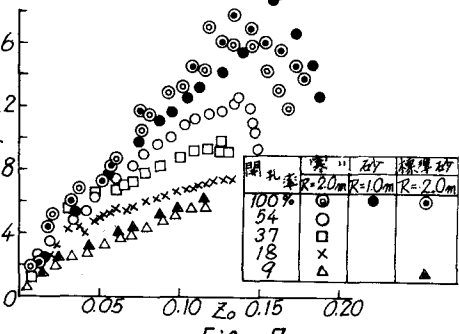


Fig-7

#### 参考文献

- (1) Takaharu Nomitsu; An Advance in the Theory of Wells, I Steady State, 地球物理, Vol.12, No.2, p.159~171, 1955
- (2) 狩野徳太郎; 井壁内外の水位差, 農業工本研究, Vol.6, No.3, 1934